

ستز نانو ذرات هیدروکسی آپاتیت به روش سل-ژل، بررسی ریخت شناسی و مقایسه ساختار آن با دندان سالم

میثم صفری گراز^۱، ساجده محمدی عارف^۱ و معصومه خاتمیان^۲

۱. دانشکده فیزیک، دانشگاه تبریز، تبریز

۲. دانشکده شیمی، دانشگاه تبریز، تبریز

پست الکترونیکی: mahammadiaref@tabrizu.ac.ir

(دریافت مقاله: ۱۳۹۸/۱۲/۲۰؛ دریافت نسخه نهایی: ۱۳۹۹/۰۴/۱۱)

چکیده

در این تحقیق، نانو ذرات هیدروکسی آپاتیت با استفاده از مواد اولیه کلسیم نیترات چهارآب (Ca(NO₃)₂.4H₂O) و پتا اکسید دی فسفر (P₂O₅) و به کارگیری روش سل-ژل، در دمای محیط ساخته شد. به منظور بررسی ساختار و شناسایی پیوندهای شیمیایی ایجاد شده و مقایسه آنها با دندان سالم به ترتیب از تحلیل پراش پرتو ایکس (XRD) و طیف فرو قرمز فوریه (FT-IR) استفاده شد. همچنین، ریز ساختار و ریخت شناسی پودر HAP ستز شده و دندان سالم توسط مطالعات میکروسکوپ الکترونی روبشی (SEM) مورد ارزیابی قرار گرفت. نتایجی که از تحلیل پراش پرتو ایکس و طیغفرود قرمز فوریه به دست آمد، نشان می‌دهد که پودر تولید شده، هیدروکسی آپاتیت خالص است و هیچ گونه ناخالصی در نمونه یافت نشد. ساختار بلوری هیدروکسی آپاتیت ستز شده با تقریب خوبی منطبق با ساختار بلوری دندان بوده و پیوندهای شیمیایی موجود در دندان سالم در هیدروکسی آپاتیت نیز دیده می‌شود. همچنین، نمونه ستز شده از درجه بلورینگی بالایی برخوردار است. بررسی تصاویر SEM نیز نشان می‌دهد که ریخت شناسی هیدروکسی آپاتیت ستز شده و دندان سالم در ابعاد نانو با متوسط توزیع اندازه ذرات به ترتیب ۲۵/۶۹ و ۲۳/۱۵ نانومتر، تقریباً کروی شکل است که تأیید دیگری بر نزدیکی ساختار نانو ذرات ستز شده با دندان سالم است. در این تصاویر آثار کلوخه‌شدنگی در نانو ذرات ستز شده نیز مشاهده می‌شود. استحکام فشاری نمونه ستز شده برابر با ۵/۵ MPa به دست آمد که با تقریب خوبی در حد مقاومت فشاری استخوان اس芬جنی است.

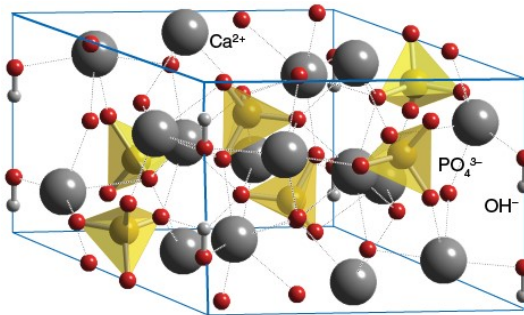
واژه‌های کلیدی: هیدروکسی آپاتیت، دندان، سل-ژل، نانو ذره، ریز ساختار

است که به علت زیست‌سازگاری^۲ بالا در درمان ضایعات

استخوان و یا ساخت کاشتی‌های مورد استفاده در دندان پزشکی یا ارتودنسی کاربرد فراوان دارد [۱]. در چند دهه گذشته

۱. مقدمه

هیدروکسی آپاتیت^۱ (HAP) با فرمول شیمیایی Ca₁₀(PO₄)₆(OH)₂ جزء معدنی و اصلی تشکیل دهنده استخوان



شکل ۱. ساختار بلوری هگزاگونال فشرده هیدروکسی آپاتیت شامل، شش چهار وجهی PO_4^{3-} ، ده کاتیون Ca^{2+} و دو آئیون OH^- [۶].

آمورف بوده که قابلیت تفجوشی و کریستالیزه شدن نیز دارد [۱۲ و ۱۴]. تفجوشی باعث جلوگیری از افزایش اندازه بی‌رویه نانوذرات سنتز شده در دماهای بالا شده و باعث افزایش استحکام فشاری و کاهش انرژی آزاد سطحی ذرات در اثر چسبیدن به یکدیگر می‌شود. کریستالیزه شدن نیز، عامل کاهش جانشینی‌های یونی در ساختار هیدروکسی آپاتیت است که باعث تهیه هیدروکسی آپاتیت نانوساختار با خلوص بالا می‌شود [۱۳ و ۱۴]. اندازه کوچک بلورها عامل مهمی برای قابلیت انحلال آپاتیت‌های بیولوژیکی در مقایسه با آپاتیت‌های معدنی است. بنابراین، نگاه ویژه‌ای در مورد هیدروکسی آپاتیت نانومتری به وجود آمده است؛ چرا که خواص مکانیکی بالاتر و زیست‌سازگاری مطلوب‌تری نسبت به نمونه‌های میکرومتری در محیط بدن انسان از خود نشان می‌دهد [۱۵]. خواص مکانیکی هیدروکسی آپاتیت تا آنجا که امکان‌پذیر است باید مشابه استخوان طبیعی باشد تا برای بازسازی استخوان در محل ایمپلنت مناسب باشد. معمولاً برای افزایش خواص مکانیکی، هیدروکسی آپاتیت سیتر^۵ می‌شود. با این حال خواص مکانیکی ایمپلنت‌های سیترشده هنوز به حد استخوان طبیعی نرسیده است (جدول ۱). با استفاده از مطالعات مختلف، گزارشی از خواص مکانیکی استخوان طبیعی، دندان، مینای دندان و ایمپلنت‌های هیدروکسی آپاتیت مصنوعی به دست آمده که اغلب، اختلاف زیادی میان داده‌ها مشاهده می‌شود که می‌تواند

تحقیقات زیادی بر روی این ماده صورت گرفته است. هیدروکسی آپاتیت دارای ساختار بلورشناسی و خواص شیمیایی مشابه با انواع استخوان‌های موجود در جانداران زنده است [۲]. هیدروکسی آپاتیت بلوری در حالت آرمانی شبکه بلوری هگزاگونال فشرده با گروه فضایی $P\bar{6}_3/m$ دارد. اما در نتیجه جایگزینی‌های هم‌ریخت^۱، امکان تبدیل ساختار هگزاگونال^۲ به مونوکلینیک^۳ نیز وجود دارد [۳]. سلول واحد هیدروکسی آپاتیت در بردارنده شش چهار وجهی PO_4^{3-} در سه موقعیت بلورین جداگانه، ۱۰ کاتیون دو ظرفیتی Ca^{2+} در دو موضع بلوری ناهمسان و دو آئیون یک ظرفیتی OH^- است (شکل ۱) [۳]. آپاتیت نام گروهی از کانی‌ها است که با فرمول عمومی $M_{\frac{1}{2}}(AO_4)_3X$ یا $M_1(AO_4)_2X_2$ مشخص می‌شوند. در این فرمول، M معرف فلزات قلیایی خاکی نظیر Ca و Ba و Sr یا عناصری چون Mn، Pb و Cd است. موضع A می‌تواند توسط عناصری چون P، V و As اشغال شود که در این صورت به ترتیب چهار وجهی‌های فسفات، وانادات و آرسنات به وجود می‌آید. یون‌هایی نظیر F⁻, Cl⁻ و OH⁻، معمولاً در محل X قرار می‌گیرند [۴]. چنین تعویض یونی می‌تواند بر بار سطحی، پارامترهای شبکه، تبلور و ریخت‌شناسی^۴ تأثیر بگذارد که در واقع منجر به تغییرات در پایداری حرارتی، خواص مکانیکی، حلایلت و زیست فعالی هیدروکسی آپاتیت می‌شود [۵].

تاکنون روش‌های زیادی رسوب‌دهی شیمیایی [۷]، واکنش هیدروترمال یا هیدرولیز [۸]، سنتز مکانو شیمیایی [۹]، آلیاژسازی مکانیکی [۱۰]، رسوب دادن فراصوتی [۱۱] و سل-ژل [۱۲ و ۱۳] برای تولید نانو پودر HAP مورد استفاده قرار گرفته است. در این میان، سل-ژل یک فرایند شیمیایی تر بوده که امکان ورود آلودگی به آن پایین است اما از عیوب آن می‌توان به حساسیت فرایند، زمان بر بودن، عدم امکان تولید صنعتی و هزینه بالای آن اشاره کرد. در مقایسه با سایر روش‌ها، پودر تولید شده با روش سل-ژل ریزتر و حتی در ابعاد نانو و با ساختار

۱. Isomophous

۲. Hexagonal

۳. Monoclinic

۴. Morphology

جدول ۱. مقایسه خواص مکانیکی HAP با استخوان‌های متراکم و اسفنجی [۱۷].

خواص ماده	چگالی	استحکام کششی	استحکام فشاری	چقرمگی شکست	مدول یانگ
استخوان متراکم	(gr/cm ³)	(MPa m ^{1/2})	(MPa)	(MPa)	(GPa)
۱/۲-۸	۱۲-۲	۱۹۳-۱۷۰	۱۵۰-۵۰	۲۰-۱۴	۰/۰۵-۰/۵
استخوان اسفنجی	۰/۱-۱	۰/۱	۱۰-۷	۲۰-۱۰	۰/۰۵-۰/۵

عملیات آسیاب و تبدیل آن به پودر بررسی شده و نتایج با یکدیگر مقایسه شده است. گام بعدی می‌تواند بررسی و بهبود خواص مکانیکی هیدروکسی آپاتیت با تهیه نانو کامپوزیت‌ها، لایه‌نشانی، هوشمندسازی و در نهایت مطالعه امکان استفاده از آن در بدن موجودات زنده باشد.

۲. بخش تجربی

۱. مواد

در کار حاضر، برای ستز نانو ذرات هیدروکسی آپاتیت از مواد اولیه شامل کلسیم نیترات چهار آبه ($\text{Ca}(\text{NO}_3)_2 \cdot 4\text{H}_2\text{O}$, Merck) با خلوص ۹۹ درصد، پتا اکسید دی فسفر (P_2O_5 , Merck) با خلوص ۹۸ درصد و اتانول خالص ($\text{C}_2\text{H}_5\text{OH}$, Merck) با خلوص ۹۹/۹ درصد استفاده شد.

۲. روش کار

ستز نانو ذرات هیدروکسی آپاتیت با در نظر گرفتن نسبت مولی (Ca/P) برابر با ۱۰:۳ به روش سل-ژل انجام شد که این نسبت به صورت استوکیومتری مربوط به هیدروکسی آپاتیت است. برای انجام این فرایند، دو محلول ۱/۶۷ مولار کلسیم نیترات چهار آبه و ۰/۵ مولار پتا اکسید دی فسفر، به ترتیب با انحلال جداگانه $\text{Ca}(\text{NO}_3)_2 \cdot 4\text{H}_2\text{O}$ و P_2O_5 در اتانول خالص تهیه شدند و به وسیله همزن مغناطیسی و سپس تحت امواج ماورای صوت، هر کدام از محلول‌ها به مدت یک ساعت "همگن‌سازی" شدند. در مرحله بعد، محلول ۰/۵ مولار P_2O_5 به آرامی و به صورت قطره قطره به محلول ۱/۶۷ مولار کلسیم نیترات که در حال به هم خوردن بود، اضافه شد. محلول به دست آمده به مدت ۳۰ دقیقه مورد همگن‌سازی قرار گرفت و

ناشی از تفاوت در خواص ماده‌ها و شرایط آزمایشگاهی باشد. عواملی مانند دمای پخت، تخلخل، استوکیومتری Ca/P , خلوص فاز و اندازه دانه ذرات بر استحکام هیدروکسی آپاتیت تأثیر می‌گذارد. همچنین، مطالعات نشان داده است که سختی ویکرز^۱ معمولاً با دمای پخت (و اندازه دانه‌ها) تا یک مقدار بحرانی فراتر از آن افزایش می‌یابد [۱۶]. یکی از محدودیت‌های اصلی هیدروکسی آپاتیت، سختی شکست پایین آن در مقایسه با استخوان متراکم است. بنابراین، هیدروکسی آپاتیت به عنوان ماده نسبتاً شکننده‌ای رفتار می‌کند. برای بهبود خواص مکانیکی هیدروکسی آپاتیت، تقویت با مواد معدنی مختلف هم بررسی شده است که شامل سرامیک، پلیمر، فلزات و برخی مواد دیگر است.

هدف از این پژوهش بررسی امکان ستز HAP نانوساختار به عنوان ماده‌ای معدنی و زیست‌سازگار و نیز مطالعه و مقایسه ساختار و ریخت‌شناسی آن با دندان سالم انسان است. بر جستگی اصلی این پژوهش مربوط به نرخ تبخیر حلال‌های اولیه است که بر خلاف گزارش‌های موجود، در مدت زمان طولانی و در دمای اتاق انجام شده است. انتظار می‌رود این فرایند تأثیر مشتبی در خواص کلی ماده ستز شده داشته باشد. از آن جهت که دندان سخت‌ترین استخوان بدن محسوب می‌شود این مطالعه به معنی مقایسه با یک حالت آرمانی است. در این تحقیق دندان سالم انسان پس از انجام عملیات آسیاب و تبدیل آن به پودر و پودر نانو هیدروکسی آپاتیت از واکنش بین نیترات کلسیم چهار آبه با پتا اکسید دی فسفر به عنوان ماده اولیه و با استفاده از روش سل-ژل، تهیه و خواص ساختاری آن بررسی شده است. سپس ویژگی‌های دندان سالم انسان پس از انجام

۱. Vickers hardness

در رابطه (۱) فاصله بین صفحه‌های بلوری و d_{hkl} را می‌توان با استفاده از میلر برآورد کرد. در رابطه (۳)، I_{300} شدت تغله مربوط به صفحه (۳۰۰)، $V_{112/300}$ شدت دره موجود بین قلل مربوط به صفحات (۱۱۲) و (۳۰۰) و X_{300} درجه کریستالی پودر است. اندازه بلورک‌ها (D) با استفاده از فرمول شرودینگر^۱ تخمین زده شده است [۲]:

$$D = \frac{k\lambda}{\beta_{4\theta} \cos \theta_B}, \quad (4)$$

در این رابطه، k ثابت شرودینگر با مقدار 0.9542 ، λ طول موج پرتو ایکس، θ_B زوایه براگ مربوط به قله ناشی از پراش، β عرض قله در نصف شدت بیشتر بر حسب رادیان و D اندازه نانو ذرات بر حسب نانومتر است. طول موج پرتو ایکس برای تابش CuK α برابر با 1.54056 آنگستروم است. استحکام فشاری با استفاده از دستگاه تست یونیورسال (Hounsfield, H5KS) موجود در دانشکده دندانپزشکی تبریز در دمای محیط برای نمونه سنتز شده مورد ارزیابی قرار گرفت. برای انجام تست فشار، نمونه سنتز شده باید در ابعاد استاندارد تهیه شود. برای این کار، نمونه سنتز شده توسط دستگاه پرس تحت فشار استوانه‌ای شکل تهیه شدند. و در نهایت توسط دستگاه تست یونیورسال با سرعت $5/0$ میلی‌متر در دقیقه، مقاومت فشاری نمونه سنتز شده به دست آمد.

۳. نتایج و بحث

طیف XRD نانو ذرات هیدروکسی آپاتیت سنتز شده در شکل ۲. الف نشان داده شده است. با مقایسه قله‌های ظاهر شده باکارت استاندارد (ICSD no. 000-09-432)، تشکیل هیدروکسی آپاتیت خالص تأیید می‌شود (جدول ۲). با استفاده از این طیف می‌توان میزان بلورینگی و اندازه بلورک‌های نمونه را محاسبه کرد. صفحات متناظر با قله‌های طیف XRD که با شاخص‌های میلر مربوطه در شکل ۲. الف مشخص شده‌اند، تأییدی بر این واقعیت هستند که ساختار بلوری هیدروکسی

به یک محلول شفاف تبدیل شد. محلول شفاف به مدت ۳۶ ساعت در دمای آتاق نگهداری شد تا به طور کامل خشک شود. سپس، ماده حاصل به مدت ۳ ساعت در دمای 600°C در داخل کوره الکتریکی قرار گرفت تا مواد آلی و فرار آن تجزیه شده و خارج شوند. در نهایت، به مدت ۳ ساعت در دمای 1100°C درجه سانتی‌گراد تحت عملیات حرارتی قرار گرفت.

به منظور مطالعه فاز نهایی و بررسی تشکیل هیدروکسی آپاتیت نانو ساختار، پودر سنتز شده مورد تحلیل پراش پرتو ایکس (XRD، D500-Germany-Siemens) در محدوده $20^{\circ} - 70^{\circ} = 2\theta$ قرار گرفت.

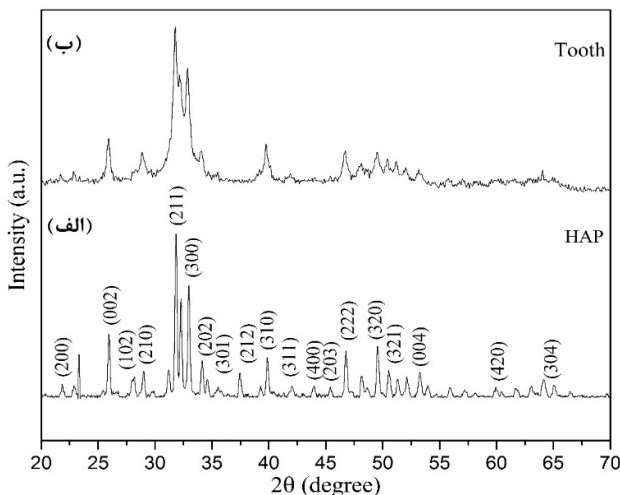
تحلیل نانو ذرات سنتز شده به وسیله طیف فرو قرمز در دمای محیط و در گستره بسامدی $4000 - 400 \text{ cm}^{-1}$ با استفاده از دستگاه FT-IR, TENSOR 27-Germany صورت گرفت. همچنین ریخت‌شناسی پودر هیدروکسی آپاتیت نانو ساختار به وسیله میکروسکوپ الکترونی روبشی (FEG-SEM, MIRA³-check) مورد بررسی قرار گرفت. همچنین، یک عدد دندان سالم انسان بعد از ضدغونی شدن، در محلولی از آب مقطر و اتانول به مدت ۷ روز قرار گرفت و سپس به طور کامل در دمای آتاق خشک شد. هدف از قرار دادن دندان سالم در آب مقطر و افزایش تدریجی اتانول حفظ ساختار اصلی دندان انسان و جلوگیری از تخرب ساختار آن در فرایند خشک‌سازی است. در نهایت، به منظور مطالعه و بررسی ساختار و ریخت‌شناسی آن و مقایسه نتایج حاصل برای دندان به پودر انجام شد و طیف‌های FT-IR, XRD، و نیز تصاویر SEM آن به دست آمد.

پارامترهای شبکه هگزاگونال ($b = a$ و c) و حجم سلول واحد (V) از روابط (۱) و (۲) محاسبه شد [۲] و درجه کریستالی پودر هیدروکسی آپاتیت نیز از رابطه (۳) به دست آمد [۱۸].

$$\frac{1}{d_{hkl}} = \frac{4}{3} \left(\frac{h^2 + hk + k^2}{a^2} \right) + \frac{l^2}{c^2}, \quad (1)$$

$$V = \frac{\sqrt{3}}{2} a^2 c = 0.866 a^2 c, \quad (2)$$

$$X_c = 1 - (V_{112/300} / I_{300}), \quad (3)$$



شکل ۲. الگوهای پراش پرتو ایکس (الف) نانو ذرات هیدروکسی آپاتیت سنتز شده و (ب) دندان سالم.

جدول ۲. مقایسه مقادیر ۲θ نانو ذرات هیدروکسی آپاتیت سنتز شده با مقادیر موجود در کارت استاندارد (ICSD no. ۰۰۰۹۰۴۳۲).

نمونه	۲θ _v	۲θ _e	۲θ _d	۲θ _f	۲θ _r	۲θ _t	۲θ _s
HAP	۵۳/۱۴	۴۹/۴۶	۴۶/۷۱	۳۲/۹۰	۳۲/۱۹	۳۱/۷۷	۲۵/۸۷
(سنتز شده) HAP	۵۳/۲۸	۴۹/۵۸	۴۶/۷۹	۳۲/۹۸	۳۲/۲۸	۳۱/۸۵	۲۵/۹۵
درصد خطأ	۰/۲۶	۰/۲۴	۰/۱۷	۰/۲۴	۰/۲۷	۰/۲۵	۰/۳۰

جدول ۳. مقایسه مقادیر ۲θ دندان سالم با نانو ذرات هیدروکسی آپاتیت سنتز شده.

نمونه	۲θ _v	۲θ _e	۲θ _d	۲θ _f	۲θ _r
Tooth	۴۶/۶۹	۳۹/۷۸	۳۲/۸۶	۳۱/۸۱	۲۵/۹۱
(سنتز شده) HAP	۴۶/۷۹	۳۹/۲۸	۳۲/۹۸	۳۱/۸۵	۲۵/۹۵
درصد خطأ	۰/۲۱	۱/۲۵	۰/۳۶	۰/۱۲	۰/۱۵

نانو ذرات هیدروکسی آپاتیت با ساختار دندان سالم است. علیرغم همخوانی قابل قبول قله‌های اصلی دو ماده، واضح است در طیف XRD هیدروکسی آپاتیت سنتز شده، قله‌هایی زیادی وجود دارد که در طیف مربوط به دندان سالم مشاهده نمی‌شود. اختلافی که بین این دو طیف مشاهده می‌شود می‌تواند ناشی از عوامل مختلفی باشد. یکی از مهم‌ترین عوامل تفاوت در خواص ماده‌ها و شرایط آزمایشگاهی است. همان‌طور که در بخش

آپاتیت منطبق با ساختار بلوری هگزاگونال است. شکل ۲. ب طیف XRD دندان سالم انسان در محدوده $2\theta = 70^\circ - 20^\circ$ نشان می‌دهد. مقایسه قله‌های اصلی XRD دندان سالم با نانو ذرات سنتز شده نشان از تطابق بسیار بالای زوایای مربوط به قله‌های باشد. قله‌های اصلی نمونه سنتز شده در $31/81^\circ$ و $31/85^\circ$ نمایان شده است که این هماهنگی تأییدی بر نزدیکی ساختار

جدول ۴. پارامترهای شبکه هگزاگونال، حجم سلول واحد، درجه بلورینگی و اندازه بلورک‌های هیدروکسی آپاتیت سنتز شده.

D (nm)	Xc	V (Å) ^۳	c (Å)	a=b (Å)	نانو ذره
۳۲/۳۸	۰/۹۱	۵۲۰/۰۷	۶/۸۴	۹/۳۷	HAP

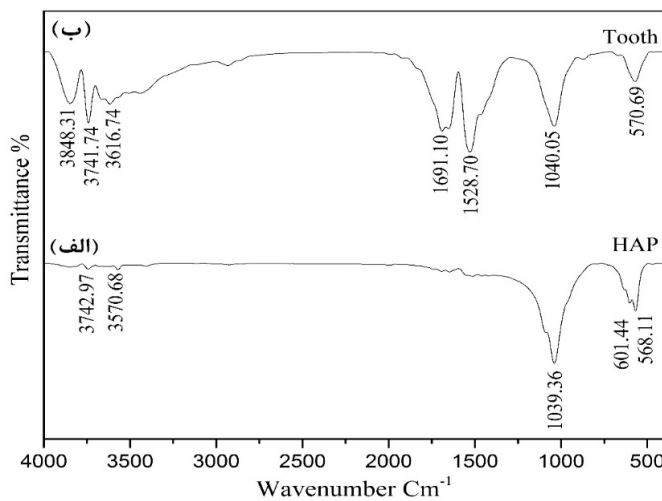
ضروری در کاربرد نانوذرات سنتز شده برای جایگزینی بافت دندان است.

استحکام فشاری هیدروکسی آپاتیت سنتز شده عدد ۵/۵ را نشان می‌دهد که در مقایسه با اعداد جدول ۱، در شرایط فعلی نمونه سنتز شده می‌تواند جایگزین مناسبی برای بافت استخوان اسفنجی باشد. برای بهبود خواص مکانیکی، به نحوی که در بافت‌های سخت‌تر هم بتوان از این ماده استفاده کرد. می‌توان از روش‌های افزایش استحکام، مثلاً کامپوزیت کردن این ماده با مواد سرامیکی بهره گرفت.

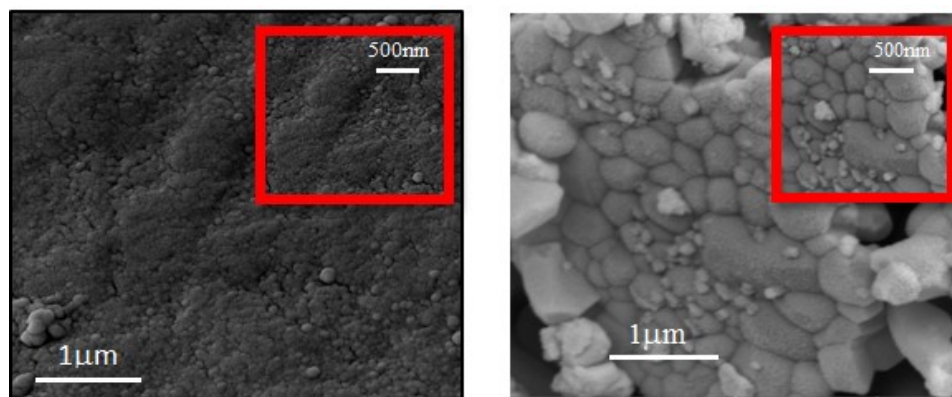
باتوجه به طیف FT-IR نمونه سنتز شده در محدوده ۴۰۰۰-۴۰۰ cm^{-۱} (شکل ۳. الف)، می‌توان حضور باندهای جذبی در نواحی تقریبی ۵۶۸ cm^{-۱} و ۶۰۱ cm^{-۱} مربوط به حرکات خمثی گروه فسفات (PO₄^{۳-}) و قلة موجود در ناحیه ۱۰۳۹ cm^{-۱} نشان دهنده حرکات کششی گروه فسفات در ساختار هیدروکسی آپاتیت را مشاهده کرد [۹]. همچنین قله‌های ظاهر شده در ناحیه ۳۵۷۰ cm^{-۱} و ۳۷۴۲ cm^{-۱} مربوط به حرکات کششی یون‌های هیدروکسیل موجود در ساختار هیدروکسی آپاتیت است [۹]. شکل ۳. ب، طیف FT-IR دندان سالم در محدوده ۴۰۰۰-۴۰۰ cm^{-۱} را نشان می‌دهد. با مقایسه طیف FT-IR نانوذرات HAP با طیف FT-IR دندان سالم مشاهده می‌شود که باند جذبی مربوط به حرکات خمثی گروه فسفات مربوط به هیدروکسی آپاتیت که تقریباً در ناحیه تقریبی ۵۷۰-۵۴۰ cm^{-۱} ظاهر می‌شود، در دندان سالم نیز وجود دارد. قلة موجود در طیف FT-IR دندان سالم در ناحیه ۱۰۴۰ cm^{-۱} در طیف FT-IR هیدروکسی آپاتیت مربوط به حرکات کششی گروه فسفات است. گستره ۳۷۰۰-۳۰۰۰ cm^{-۱} نیز مربوط به پیوندهای مولکول آب است. قله‌های دیگر در نواحی تقریبی ۱۵۲۸ cm^{-۱} و ۱۶۹۱ cm^{-۱} برای دندان سالم را می‌توان به پیوندهای شامل عناصر دیگر از جمله کربن که در ساختار

مقدمه اشاره شد، تاکنون گزارشی از سنتز هیدروکسی آپاتیت با ویژگی‌های کاملاً مطابق با ساختار دندان ارائه نشده است. از سوی دیگر، دندان انسان از مواد معدنی و آلی تشکیل شده است. مواد اصلی تشکیل دهنده دندان انسان شامل کلسیم و فسفر است. مواد معدنی عاج دندان، عمدتاً از نمک‌های کلسیم به صورت بلورهای هیدروکسی آپاتیت است که حدود ۷۰ درصد وزن خشک آن را تشکیل می‌دهند. همچنین، مینا که به عنوان لایه محافظتی برای عاج تاج دندان محسوب می‌شود، سخت‌ترین بافت بدن به شمار می‌رود که حدود ۹۷ درصد آن مواد معدنی است که عمدتاً به صورت بلورهای هیدروکسی آپاتیت هستند. با همه این اوصاف، سنتز ماده‌ای که ویژگی‌های ساختاری نزدیکی با دندان انسان دارد، شروع مناسبي برای بهبود کیفیت و نزدیک شدن به ساختار دندان واقعی خواهد بود. بر اساس رابطه شر (رابطه ۴)، با محاسبه عرض قله‌های اصلی نمونه در نصف شدت بیشینه، متوسط اندازه بلورک‌های دندان سالم ۲۶/۸۵ نانومتر تخمین زده شد. از طرفی، متوسط اندازه بلورک‌های محاسبه شده برای نانو ذرات سنتز شده عدد ۳۲/۳۸ نانومتر را نشان می‌دهد.

پارامترهای شبکه هگزاگونال (a = b) و c، حجم سلول واحد (V)، درجه بلورینگی (Xc) و اندازه بلورک (D) در جدول ۴، نوشته شده است. مقایسه مقادیر محاسبه شده با مقادیر مربوط به ساختار بلوری هگزاگونال استاندارد نشان می‌دهد که ساختار حاضر با تقریب خوبی یک شبکه بلوری هگزاگونال است. ثابت‌های شبکه و حجم سلول واحد به مقادیر استاندارد خود نزدیک بوده و نمونه سنتز شده از درجه بلورینگی بالایی برخوردار است. از جمله ویژگی‌های اساسی ساختار هگزاگونال، امکان قرارگیری اتم‌ها در تنگ پکیده‌ترین حالت است که امکان معرفی ساختار بلوری دارای استحکام مکانیکی بالا را فراهم می‌کند که یکی از پارامترهای لازم و



شکل ۳. طیف‌های FT-IR (الف) هیدروکسی آپاتیت سنتز شده و (ب) دندان سالم.

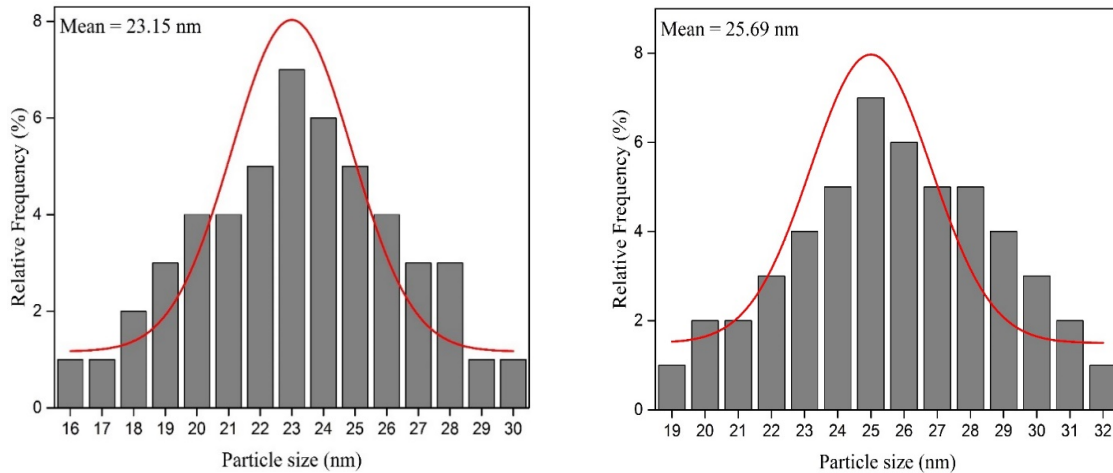


شکل ۴. تصاویر SEM (الف) هیدروکسی آپاتیت سنتز شده و (ب) دندان سالم با مقیاس ۱ میکرومتر و ۵۰۰ نانومتر.

وجود کلوخه‌های بسیار ریز هم در تصویر قابل مشاهده است. همچنین از تصویر SEM برای دندان سالم (شکل ۴. ب) مشاهده می‌شود، ذرات، کروی‌شکل بوده و اندازه ذرات یکنواخت و در مقیاس نانو است. توزیع اندازه ذرات هیدروکسی آپاتیت سنتز شده و دندان سالم که با تابع گوسی برازش شده است در شکل ۵ دیده می‌شود. واضح است که توزیع اندازه ذرات هیدروکسی آپاتیت سنتز شده و دندان سالم از توزیع نرمال تعیت می‌کند. متوسط توزیع اندازه ذرات برای هیدروکسی آپاتیت سنتز شده و دندان سالم به ترتیب، $25/69\text{ nm}$ و $23/15\text{ nm}$ به دست آمد. اختلاف اعداد محاسبه شده از تصاویر SEM و روش شرمن برای اندازه ذرات هیدروکسی آپاتیت سنتز شده $25/6$ درصد

دندان سالم موجود است، نسبت داد. در این صورت، این دو قلهٔ اخیر به ترتیب مربوط به ارتعاشات کششی گروه کربونیل و ارتعاشات پیوندی $\text{C}=\text{O}$ خواهند بود. با توجه به بررسی‌هایی که در مورد طیف FT-IR دندان سالم انجام شد و مقایسه‌ای که با طیف FT-IR نانو ذرات هیدروکسی آپاتیت صورت گرفت، نتایج حاصل از یافته‌های XRD یعنی نزدیکی ساختار نمونه‌های سنتز شده به دندان سالم تأیید می‌شود.

در شکل ۴، تصاویر SEM هیدروکسی آپاتیت سنتز شده و دندان سالم نشان داده شده است. تصویر SEM هیدروکسی آپاتیت سنتز شده تأیید می‌کند که اندازه ذرات مواد سنتز شده در ابعاد نانو بوده و آثار کلوخه‌شدنگی دیده می‌شود. کلوخه‌ها شکل نسبتاً کروی با اندازه نسبتاً یکنواخت دارند؛ هر چند



شکل ۵. توزیع نرمال اندازه ذرات (الف) هیدروکسی آپاتیت سنتز شده و (ب) دندان سالم.

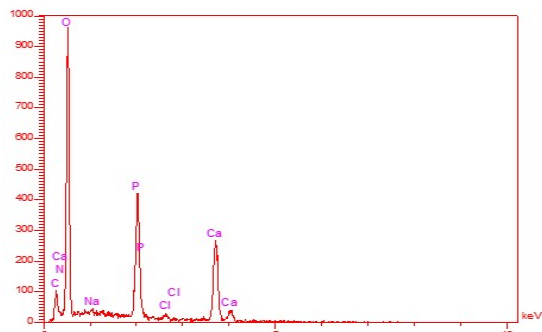
جدول ۵. متوسط توزیع اندازه ذرات هیدروکسی آپاتیت سنتز شده با کارهای تجربی گزارش شده و دندان سالم.

ردیف	روش سنتز	متوسط توزیع اندازه ذرات (nm)
۱	سل-ژل (رطوبت‌زدایی در دمای ۱۰۰ °C)	۲۰۰
۲	سل-ژل (رطوبت‌زدایی در دمای ۱۲۰ °C)	۱۵۰-۵۰
۳	سل-ژل (رطوبت‌زدایی در دمای ۱۲۰ °C)	۵۰
۴	سل-ژل (رطوبت‌زدایی در دمای ۱۲۰ °C)	۴۹
۵	سل-ژل (رطوبت‌زدایی در دمای ۸۰ °C)	۲۸
۶	سل-ژل (رطوبت‌زدایی در دمای اتاق)	۲۵/۶۹
۷	دندان سالم	۲۳/۱۵

برای رطوبت‌زدایی، روش حاضر منجر به تولید هیدروکسی آپاتیت با کمینه متوسط توزیع اندازه ذرات در بین روش‌های گزارش شده می‌شود (جدول ۵). روش حاضر با روش گزارش شده متوسط کلانتر و همکاران [۲۱] کاملاً مشابه بوده و تنها تفاوت دو روش دمای استفاده شده برای رطوبت‌زدایی است که رطوبت زدایی در دمای اتاق منجر به نصف شدن متوسط توزیع اندازه ذرات می‌شود. نتیجه جالبی که حاصل می‌شود این است که متوسط توزیع اندازه ذرات هیدروکسی آپاتیت سنتز شده در این کار تجربی به مقدار متناظر آن در دندان سالم نزدیک‌تر است و بنابراین روش حاضر روش بسیار مطلوبی برای استفاده در کارهای بعدی برای سنتز هیدروکسی آپاتیت نانوساختار ارائه

و برای دندان سالم ۱۵/۹ درصد است. بنابراین، نتایج حاصل از دو روش، توافق خوبی با هم داشته و نتایج SEM نیز یافته‌های XRD را تأیید می‌کند.

با توجه به گزارش‌های مختلف [۲۲-۱۹، ۱۲]، سنتز هیدروکسی آپاتیت به روش سل-ژل روش بسیار معمولی است؛ اما تفاوت‌های موجود در مراحل سنتز منجر به نتایج مختلفی در متوسط توزیع اندازه ذرات می‌شود. به طور مثال، بازه زمانی که محلول تحت تأثیر امواج فرا صوت قرار می‌گیرد، در توزیع اندازه ذرات تأثیر چشمگیری دارد. همچنین، در برخی از روش‌ها، سنتز در هوا انجام نشده و تحت تأثیر گاز دیگری مثلًاً نیتروژن بوده است [۱۹]. از نقطه نظر دمای استفاده شده



شکل ۶. طیف EDX برای دندان سالم.

اصلی دندان سالم دارد. از نظر ریخت‌شناسی نانو ذرات ستز شده و دندان سالم هر دو تقریباً کروی هستند و اندازه آنها با تقریب قابل قبولی با هم توافق دارند. همچنین استحکام فشاری نانو ذرات ستز شده که با تقریب قابل قبولی در حد استحکام فشاری استخوان اسفنجی است این ماده را نماینده مناسبی برای جایگزینی در بدن انسان معرفی می‌کند.

می‌کند.

عناصر موجود در دندان سالم که با استفاده از طیف‌سنجی پراش ابریزی پرتو ایکس (EDX) تعیین می‌شود (شکل ۶)، حضور قله‌های کلسیم، فسفر، کربن و اکسیژن را در ساختار دندان سالم نشان می‌دهد. با توجه به عناصر اصلی سازنده هیدروکسی آپاتیت ماده ستز شده عناصر اصلی سازنده ساختار دندان را در بر داشته و بنابراین می‌تواند به عنوان جایگزین مناسبی برای دندان واقعی در نظر گرفته شود.

۴. نتیجه‌گیری

بررسی و مقایسه مشخصات ساختاری نانو ذرات هیدروکسی آپاتیت و دندان سالم انسان، توسط یک ارزیابی مقایسه‌ای، متوسط اندازه بلورک‌ها با استفاده از تصاویر میکروسکوپ الکترونی رویشی، تحلیل قله‌های طیف پراش اشعه X و طیف FT-IR نشان می‌دهد که ماده ستز شده توافق خوبی با ساختار

مراجع

12. I S Kim and P N Kumta, *Mater. Sci. Eng. B*, **111** (2004) 232.
13. D M Liu, Q Yang, T Troczynski, and W J Tseng, *Biomaterials* **23** (2002) 1679.
14. S Salehi and M H. Fathi, *Ceram. Int.* **36** (2010) 1659.
15. M Mazaheri, M Haghighatzadeh, A M Zahedi, and S K Sadrnezhaad, *J. Alloy. Comp.* **471** (2009) 180.
16. M Eilbagi, R Emadi, K Raeissi, M Kharaziha, and A Valiani, *Mater. Sci. Eng. C*, **68** (2016) 603.
17. M Akao, H Aoki, and K Kato, *J. Mater. Sci.* **16** (1981) 809.
18. E Landi, A Tampieri, G Celotti, and S Sprio, *J. Eur. Ceram. Soc.* **20** (2000) 2377.
19. L Pierre, A Ito, and T Tateishi, *J. Am. Ceram. Soc.* **81** (1998) 1421.
20. م. رفوعی، س. کرباسی، و م. سجادی، نشریه علم مواد **۲۱** (۱۳۸۹) ۳۶.
21. م. کلانتر، م. مجاهدیان، و ن. و. مهرجردی، نشریه مهندسی متالورژی و مواد **۲۷** (۱۳۹۵) ۸۳.
22. M H Fathi and A Hanifi, *Mater. Lett.* **61** (2007) 3978.
1. B H Fellah, N Josselin, D Chappard, P Weiss, and P Layrolle, *J. Mater. Sci. Mater. Med.* **18** (2007) 287.
2. M. safari Gezaz, S. Mohammadi Aref, and M. Khatamian, *Mater. Chem. Phys.* **226** (2019) 169.
3. H Badran, I S Yahia, M S Hamdy, and N S Awwad, *Radiat. Phys. Chem.* **130** (2017) 85.
4. Kh R Mohamed, H H Beherei, G T El Bassyouni, and N El Mahallawy, *Mater. Sci. Eng. C*, **33** (2013) 4126.
5. A Biancoa, I Cacciottia, M Lombardib, L Montanarob, E Bemporadc, and M Sebastianic, *Ceram. Int.* **36** (2010) 313.
6. T Guo, W Kang, D Xiao, R Duan, W Zhi, and J Weng, *Molecules*, **19** (2014) 149.
7. ۷. M R Saeri, A Afshar, M Ghorbani, N Ehsani, and C C Sorrell, *Mater. Lett.* **57** (2003) 4064.
8. Y. Sun, G. Guo, D. Tao, and Z. Wang, *J. Phys. Chem. Solids*, **68** (2007) 373.
9. M Toriyama, A Ravaglioli, A Krajewski, G Celotti, and A Piancastelli, *J. Eur. Ceram. Soc.* **16** (1996) 429.
10. C C Silva, A G Pinheiro, R S Deoliveira, J C Goes, N Aranha, L R Deoliveira, and A S B Sombra, *Mater. Sci. Eng. C*, **24** (2004).
11. L Yuncao, C Bozhang, and J F Hung, *Ceram. Int.* **31** (2005) 1041.